

УДК 532.529.5

Новые гиперболические модели запыленного газа

В.С. Суков

Южно-Уральский государственный университет
(Национальный исследовательский университет), Челябинск

E-mails: surovvictor@gmail.com

Представлены гиперболические модели газопылевой смеси в одно- и многоскоростном приближениях, в которых учтен межфракционный теплообмен. Проведен характеристический анализ уравнений моделей. С использованием метода Годунова с линеаризованным римановым решателем на криволинейной сетке решена задача Прандтля–Майера для воздушно-капельной смеси. Результаты расчетов сопоставлены с автомодельным решением.

Ключевые слова: гиперболические модели газопылевой смеси, метод Годунова, линеаризованный римановский решатель, математическое моделирование.

Введение

Для математического описания движения газа со взвешенными в нем твердыми химически инертными частицами используются два различных подхода: в одном пренебрегается объемом, занимаемым частицами [1, 2], в другом он учитывается [3]. Отметим, что в последнем случае уравнения модели не являются гиперболическими (см. [3]).

В настоящей работе модели газопылевой смеси, учитывающие собственный объем частиц, строятся на базе одно- и многоскоростной моделей многокомпонентных сред [4, 5], в которых удельные внутренние энергии несжимаемых фракций полагаются неизменными. Для учета межфракционного теплообмена системы уравнений моделей дополняются энергетическими уравнениями для «газа» частиц. Ниже показано, что полученные в рамках такого подхода системы уравнений моделей запыленного газа относятся к гиперболическому типу.

Односкоростное приближение

Рассмотрим односкоростную модель газопылевой смеси, т.е. будем полагать, что скорости газа и частиц совпадают. Уравнения, описывающие одномерное течение смеси идеального газа с несжимаемыми частицами, имеют вид

$$\begin{aligned} \partial \rho / \partial t + \partial \rho u / \partial x = 0, \quad \partial \rho u / \partial t + \partial (p + \rho u^2) / \partial x = 0, \\ \frac{\partial}{\partial t} \left[\rho \left(\varepsilon + \frac{1}{2} u^2 \right) \right] + \frac{\partial}{\partial x} \left\{ \left[\rho \left(\varepsilon + \frac{1}{2} u^2 \right) + p \right] u \right\} = 0, \end{aligned} \quad (1)$$

$$\begin{aligned} \partial\alpha_s/\partial t + \partial\alpha_s u/\partial x = 0, \quad \partial\alpha_s\rho_s^0 u/\partial t + \partial\alpha_s(p + \rho_s^0 u^2)/\partial x = f, \\ \frac{\partial}{\partial t} \left[\alpha_s \rho_s^0 \left(\varepsilon_s + \frac{1}{2} u^2 \right) \right] + \frac{\partial}{\partial x} \left\{ \alpha_s \left[\rho_s^0 \left(\varepsilon_s + \frac{1}{2} u^2 \right) + p \right] u \right\} = Q + f u, \end{aligned}$$

где f — плотность силы межфракционного взаимодействия (см. [4]), которая заранее неизвестна и определяется в процессе интегрирования системы (1); α — объемная доля, $\alpha_g + \alpha_s = 1$ (индексами g и s отмечены газ и несжимаемая фракция); $\rho = \alpha_g \rho_g^0 + \alpha_s \rho_s^0$ — плотность смеси, $\varepsilon_s = c_v T_s$ и $\varepsilon = \frac{1}{\rho} \left(\frac{\alpha_g p}{\gamma - 1} + \alpha_s \rho_s^0 c_v T_s \right)$ — удельные внутренние энергии

частиц и смеси в целом, T — температура, Q — интенсивность межкомпонентного теплообмена на единицу объема смеси.

Законы сохранения энергии для смеси в целом и «газа» частиц после ряда преобразований могут быть переписаны как

$$\begin{aligned} \frac{\partial p}{\partial t} + u \frac{\partial p}{\partial x} + \frac{p(\alpha_s + \gamma - \alpha_s \gamma)}{1 - \alpha_s} \frac{\partial u}{\partial x} = - \frac{\gamma - 1}{1 - \alpha_s} Q, \\ \alpha_s c_v \rho_s^0 \left(\frac{\partial T_s}{\partial t} + u \frac{\partial T_s}{\partial x} \right) + \alpha_s p \frac{\partial u}{\partial x} = Q, \end{aligned}$$

следовательно, система уравнений модели запыленного газа (1) в квазилинейной форме принимает вид

$$\begin{aligned} \frac{\partial \rho}{\partial t} + u \frac{\partial \rho}{\partial x} + \rho \frac{\partial u}{\partial x} = 0, \quad \frac{\partial u}{\partial t} + u \frac{\partial u}{\partial x} + \frac{1}{\rho} \frac{\partial p}{\partial x} = 0, \\ \frac{\partial p}{\partial t} + u \frac{\partial p}{\partial x} + \rho c^2 \frac{\partial u}{\partial x} = - \frac{\gamma - 1}{1 - \alpha_s} Q, \\ \frac{\partial \alpha_s}{\partial t} + u \frac{\partial \alpha_s}{\partial x} + \alpha_s \frac{\partial u}{\partial x} = 0, \quad \frac{\partial T_s}{\partial t} + u \frac{\partial T_s}{\partial x} + \frac{p}{c_v \rho_s^0} \frac{\partial u}{\partial x} = \frac{Q}{\alpha_s c_v \rho_s^0}, \end{aligned} \quad (2)$$

где

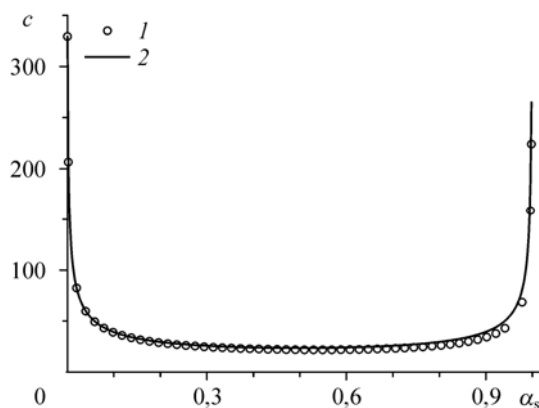
$$c = \sqrt{\frac{p(\alpha_s + \gamma - \alpha_s \gamma)}{(1 - \alpha_s)\rho}}. \quad (3)$$

Характеристическое уравнение системы (2) имеет только действительные корни: $\lambda_{1,2} = u \pm c$, $\lambda_3 = \lambda_4 = \lambda_5 = u$. Скорость звука, рассчитанная по соотношению (3), близка к аппроксимирующей экспериментальные данные формуле Вуда [6]

$$c = \sqrt{\frac{\gamma p}{(1 - \alpha_s)\rho}}, \quad (4)$$

что видно из рис. 1, где приведены соответствующие зависимости c от объемной доли α_s при нормальных условиях для водно-воздушной смеси.

Характеристические соотношения вдоль характеристических направлений $dx/dt = u \pm c$ системы (2) могут быть получены из уравнения

Рис. 1. Зависимости c от α_s , рассчитанные по формулам (3) (1) и (4) (2).

$$\begin{vmatrix} \xi - u & -\rho & 0 & 0 & -u \frac{d\rho}{dt} - \rho \frac{du}{dt} \\ 0 & \xi - u & -\frac{1}{\rho} & 0 & -u \frac{du}{dt} - \frac{1}{\rho} \frac{dp}{dt} \\ 0 & -\rho c^2 & \xi - u & 0 & -\frac{\gamma-1}{1-\alpha_s} \xi Q - u \frac{dp}{dt} - \rho c^2 \frac{du}{dt} \\ 0 & -\alpha_s & 0 & \xi - u & -\alpha_s \frac{du}{dt} - u \frac{d\alpha_s}{dt} \\ 0 & -\frac{p}{c_v \rho_s^0} & 0 & 0 & \frac{\xi Q}{\alpha_s c_v \rho_s^0} - u \frac{dT_s}{dt} - \frac{p}{c_v \rho_s^0} \frac{du}{dt} \end{vmatrix} = 0,$$

где $\xi = dx/dt$. Раскрывая определитель, получим соотношения

$$dp \pm \rho c du + \alpha_s (\gamma - 1) Q dt = 0, \quad (5)$$

справедливые на характеристических направлениях $\xi = u \pm c$.

Вдоль траекторной характеристики $\xi = u$ выполняются равенства

$$\alpha_s d\rho - \rho d\alpha_s = 0, \quad c_v \rho_s^0 dT_s - p d\rho / \rho - Q dt / \alpha_s = 0, \quad dp - c^2 d\rho + (\gamma - 1) Q / (1 - \alpha_s) dt = 0, \quad (6)$$

которые непосредственно следуют из системы (2).

Характеристические соотношения (5)–(6) могут быть применены при интегрировании системы (2) узловым методом характеристик [7], при конструировании характеристического риманова решателя [8], используемого в методе Годунова.

Систему (2) перепишем в векторной форме:

$$\partial \mathbf{U} / \partial t + A \partial \mathbf{U} / \partial x = \mathbf{S}, \quad (7)$$

где

$$\mathbf{U} = \begin{pmatrix} \rho \\ u \\ p \\ \alpha_s \\ T_s \end{pmatrix}, \quad A = \begin{pmatrix} u & \rho & 0 & 0 & 0 \\ 0 & u & \frac{1}{\rho} & 0 & 0 \\ 0 & \rho c^2 & u & 0 & 0 \\ 0 & \alpha_s & 0 & u & 0 \\ 0 & p / (c_v \rho_s^0) & 0 & 0 & u \end{pmatrix}, \quad \mathbf{S} = \begin{pmatrix} 0 \\ 0 \\ -\frac{\gamma-1}{1-\alpha_s} Q \\ 0 \\ Q / (\alpha_s c_v \rho_s^0) \end{pmatrix}.$$

Матрица Ω , составленная из правых собственных столбцов $\mathbf{R}_1, \mathbf{R}_2, \mathbf{R}_3, \mathbf{R}_4, \mathbf{R}_5$ матрицы A , соответствующих собственным значениям $\lambda_1 = u - c$, $\lambda_2 = \lambda_3 = \lambda_4 = u$, $\lambda_5 = u + c$, имеет вид

$$\Omega = \begin{pmatrix} \frac{1}{c^2} & 1 & 0 & 0 & \frac{1}{c^2} \\ -\frac{1}{\rho c} & 0 & 0 & 0 & \frac{1}{\rho c} \\ 1 & 0 & 0 & 0 & 1 \\ \frac{\alpha_s}{\rho c^2} & 0 & 1 & 0 & \frac{\alpha_s}{\rho c^2} \\ \frac{p}{c_v \rho_s^0 \rho c^2} & 0 & 0 & 1 & \frac{p}{c_v \rho_s^0 \rho c^2} \end{pmatrix}. \quad (8)$$

Ниже описан линеаризованный римановский решатель [9], использующий найденные правые собственные векторы, который применяется в численных схемах, аналогичных предложенной Годуновым. Матрица Ω также используется в конечноразностных схемах метода Куранта–Изаксона–Риса [10].

Модель смеси, учитывающая скоростную неравновесность

Система уравнений двухскоростной модели газопылевой смеси из работы [5], в которой дополнительно учтен межфракционный теплообмен, имеет вид:

$$\begin{aligned} \frac{\partial \rho}{\partial t} + \frac{\partial \rho u}{\partial x} &= 0, & \frac{\partial \rho u}{\partial t} + \frac{\partial (p + \rho u^2)}{\partial x} &= 0, \\ \frac{\partial p}{\partial t} + u \frac{\partial p}{\partial x} - c^2 \left(\frac{\partial \rho}{\partial t} + u \frac{\partial \rho}{\partial x} \right) &= 0, & & (9) \\ \frac{\partial \alpha_s}{\partial t} + \frac{\partial \alpha_s u_s}{\partial x} &= 0, & \frac{\partial \alpha_s \rho_s^0 u_s}{\partial t} + \frac{\partial \alpha_s (p + \rho_s^0 u_s^2)}{\partial x} &= \eta (u_g - u_s), \\ \frac{\partial}{\partial t} \left[\alpha_s \rho_s^0 \left(\varepsilon_s + \frac{1}{2} u_s^2 \right) \right] + \frac{\partial}{\partial x} \left\{ \alpha_s \left[\rho_s^0 \left(\varepsilon_s + \frac{1}{2} u_s^2 \right) + p \right] u_s \right\} &= Q + \eta u_s (u_g - u_s), \end{aligned}$$

где c определяется в соответствии с формулой (4). Система (9) может быть приведена к квазилинейному виду:

$$\begin{aligned} \frac{\partial \rho}{\partial t} + u \frac{\partial \rho}{\partial x} + \rho \frac{\partial u}{\partial x} &= 0, & \frac{\partial u}{\partial t} + u \frac{\partial u}{\partial x} + \frac{1}{\rho} \frac{\partial p}{\partial x} &= 0, \\ \frac{\partial p}{\partial t} + u \frac{\partial p}{\partial x} + \rho c^2 \frac{\partial u}{\partial x} &= 0, & \frac{\partial \alpha_s}{\partial t} + u_s \frac{\partial \alpha_s}{\partial x} + \alpha_s \frac{\partial u_s}{\partial x} &= 0, & (10) \\ \frac{\partial u_s}{\partial t} + u_s \frac{\partial u_s}{\partial x} + \frac{1}{\rho_s^0} \frac{\partial p}{\partial x} + \frac{p}{\alpha_s \rho_s^0} \frac{\partial \alpha_s}{\partial x} &= \frac{\eta}{\alpha_s \rho_s^0} (u_g - u_s), \\ \frac{\partial T_s}{\partial t} + u_s \frac{\partial T_s}{\partial x} + \frac{p}{c_v \rho_s^0} \frac{\partial u_s}{\partial x} &= \frac{Q}{\alpha_s \rho_s^0 c_v}. \end{aligned}$$

Характеристическое уравнение системы (10) имеет только действительные корни: $\lambda_{1,2} = u \pm c$, $\lambda_3 = u$, $\lambda_{4,5} = u_s \pm c_s$, $\lambda_6 = u_s$, где $c_s = \sqrt{p/\rho_s^0}$.

Матрица, составленная из правых собственных столбцов $\mathbf{R}_1, \mathbf{R}_2, \mathbf{R}_3, \mathbf{R}_4, \mathbf{R}_5, \mathbf{R}_6$ матрицы

$$A = \begin{pmatrix} u & \rho & 0 & 0 & 0 & 0 \\ 0 & u & 1/\rho & 0 & 0 & 0 \\ 0 & \rho c^2 & u & 0 & 0 & 0 \\ 0 & 0 & 0 & u_s & \alpha_s & 0 \\ 0 & 0 & 1/\rho_s & c_s^2/\alpha_s & u_s & 0 \\ 0 & 0 & 0 & 0 & c_s^2/c_v & u_s \end{pmatrix}$$

в векторном уравнении (7) для двухскоростной модели смеси, соответствующих собственным значениям $\lambda_1 = u - c$, $\lambda_2 = u$, $\lambda_3 = u + c$, $\lambda_4 = u_s - c_s$, $\lambda_5 = u_s$, $\lambda_6 = u_s + c_s$, имеет вид

$$\begin{pmatrix} \frac{c_v \rho_s^0 \left[(u - c - u_s)^2 - c_s^2 \right]}{c^2 c_s^2} & 1 & \frac{c_v \rho_s^0 \left[(u + c - u_s)^2 - c_s^2 \right]}{c^2 c_s^2} & 0 & 0 & 0 \\ \frac{c_v \rho_s^0 \left[(u - c - u_s)^2 - c_s^2 \right]}{\rho c c_s^2} & 0 & \frac{c_v \rho_s^0 \left[(u + c - u_s)^2 - c_s^2 \right]}{\rho c c_s^2} & 0 & 0 & 0 \\ \frac{c_v \rho_s^0 \left[(u - c - u_s)^2 - c_s^2 \right]}{c_s^2} & 0 & \frac{c_v \rho_s^0 \left[(u + c - u_s)^2 - c_s^2 \right]}{c_s^2} & 0 & 0 & 0 \\ \frac{\alpha_s c_v}{c_s^2} & 0 & \frac{\alpha_s c_v}{c_s^2} & \frac{\alpha_s c_v}{c_s^2} & 0 & \frac{\alpha_s c_v}{c_s^2} \\ \frac{c_v (u - c - u_s)}{c_s^2} & 0 & \frac{c_v (u + c - u_s)}{c_s^2} & -\frac{c_v}{c_s} & 0 & \frac{c_v}{c_s} \\ 1 & 0 & 1 & 1 & 1 & 1 \end{pmatrix}. \quad (11)$$

Полидисперсные газопылевые смеси

Система уравнений, описывающая одномерное течение односкоростной газопылевой смеси с n несжимаемыми дисперсными фракциями, имеет вид:

$$\begin{aligned} \frac{\partial \rho}{\partial t} + \frac{\partial \rho u}{\partial x} &= 0, & \frac{\partial \rho u}{\partial t} + \frac{\partial (p + \rho u^2)}{\partial x} &= 0, \\ \frac{\partial}{\partial t} \left[\rho \left(\varepsilon + \frac{1}{2} u^2 \right) \right] + \frac{\partial}{\partial x} \left\{ \left[\rho \left(\varepsilon + \frac{1}{2} u^2 \right) + p \right] u \right\} &= 0, & (12) \\ \frac{\partial \alpha_{si}}{\partial t} + \frac{\partial \alpha_{si} u}{\partial x} &= 0, & \frac{\partial \alpha_{si} \rho_{si}^0 u}{\partial t} + \frac{\partial \alpha_{si} (p + \rho_{si}^0 u^2)}{\partial x} &= f_i, \\ \frac{\partial}{\partial t} \left[\alpha_{si} \rho_{si}^0 \left(\varepsilon_{si} + \frac{1}{2} u^2 \right) \right] + \frac{\partial}{\partial x} \left\{ \alpha_{si} \left[\rho_{si}^0 \left(\varepsilon_{si} + \frac{1}{2} u^2 \right) + p \right] u \right\} &= Q_i + f_i u, & i &= 1, \dots, n, \end{aligned}$$

где f_i — плотности сил межфракционного взаимодействия, Q_i — интенсивности межкомпонентного теплообмена на единицу объема смеси между несущим газом и i -ой фракцией, $\varepsilon_{si} = c_{vi}T_{si}$ и $\varepsilon = \frac{1}{\rho} \left(\frac{\alpha_g p}{\gamma - 1} + \sum_{i=1}^n \alpha_{si} \rho_{si}^0 c_{vi} T_{si} \right)$ — удельные внутренние энергии

частиц и смеси в целом; $\alpha_g + \sum_{i=1}^n \alpha_{si} = 1$.

В квазилинейной форме система уравнений (12) переписывается как

$$\begin{aligned} \frac{\partial \rho}{\partial t} + u \frac{\partial \rho}{\partial x} + \rho \frac{\partial u}{\partial x} &= 0, & \frac{\partial u}{\partial t} + u \frac{\partial u}{\partial x} + \frac{1}{\rho} \frac{\partial p}{\partial x} &= 0, \\ \frac{\partial p}{\partial t} + u \frac{\partial p}{\partial x} + \rho c^2 \frac{\partial u}{\partial x} &= -\frac{\gamma - 1}{\alpha_g} \sum_{i=1}^n Q_i, & (13) \\ \frac{\partial \alpha_{si}}{\partial t} + u \frac{\partial \alpha_{si}}{\partial x} + \alpha_{si} \frac{\partial u}{\partial x} &= 0, & \frac{\partial T_{si}}{\partial t} + u \frac{\partial T_{si}}{\partial x} + \frac{p}{c_{vi} \rho_{si}^0} \frac{\partial u}{\partial x} &= \frac{Q_i}{\alpha_{si} c_{vi} \rho_{si}^0}, \quad i = 1, \dots, n, \end{aligned}$$

где $c = \sqrt{p[1 + \alpha_g(\gamma - 1)]} / (\alpha_g \rho)$. Характеристическое уравнение системы (13) имеет только действительные корни: $\lambda_{1,2} = u \pm c$, $\lambda_3 = \dots = \lambda_{2n+3} = u$. В частности, для смеси газа с двумя дисперсными фракциями правые собственные векторы, соответствующие собственным значениям $\lambda_1 = u - c$, $\lambda_2 = \lambda_3 = \lambda_4 = \lambda_5 = \lambda_6 = u$, $\lambda_7 = u + c$, имеют вид

$$\begin{aligned} \mathbf{R}_1 &= \left(\frac{\rho c_{v1} \rho_{s1}^0}{p}, -\frac{c c_{v1} \rho_{s1}^0}{p}, \frac{\rho c^2 c_{v1} \rho_{s1}^0}{p}, \frac{\alpha_1 c_{v1} \rho_{s1}^0}{p}, 1, \frac{\alpha_2 c_{v1} \rho_{s1}^0}{p}, \frac{c_{v1} \rho_{s1}^0}{c_{v2} \rho_{s2}^0} \right)', \\ \mathbf{R}_2 &= (1, 0, 0, 0, 0, 0, 0)', \quad \mathbf{R}_3 = (0, 0, 0, 1, 0, 0, 0)', \quad \mathbf{R}_4 = (0, 0, 0, 0, 1, 0, 0)', \\ \mathbf{R}_5 &= (0, 0, 0, 0, 0, 1, 0)', \quad \mathbf{R}_6 = (0, 0, 0, 0, 0, 0, 1)', \\ \mathbf{R}_7 &= \left(\frac{\rho c_{v2} \rho_{s2}^0}{p}, \frac{c c_{v2} \rho_{s2}^0}{p}, \frac{\rho c^2 c_{v2} \rho_{s2}^0}{p}, \frac{\alpha_1 c_{v2} \rho_{s2}^0}{p}, \frac{c_{v2} \rho_{s2}^0}{c_{v1} \rho_{s1}^0}, \frac{\alpha_2 c_{v2} \rho_{s2}^0}{p}, 1 \right)'. \end{aligned}$$

Штрихом обозначен оператор транспонирования.

Для модели газопылевой смеси со скоростной неравновесностью с n несжимаемыми дисперсными фракциями система уравнений в квазилинейной форме имеет вид

$$\begin{aligned} \frac{\partial \rho}{\partial t} + u \frac{\partial \rho}{\partial x} + \rho \frac{\partial u}{\partial x} &= 0, & \frac{\partial u}{\partial t} + u \frac{\partial u}{\partial x} + \frac{1}{\rho} \frac{\partial p}{\partial x} &= 0, \\ \frac{\partial p}{\partial t} + u \frac{\partial p}{\partial x} + \rho c^2 \frac{\partial u}{\partial x} &= 0, & \frac{\partial \alpha_{si}}{\partial t} + u_{si} \frac{\partial \alpha_{si}}{\partial x} + \alpha_{si} \frac{\partial u_{si}}{\partial x} &= 0, & (14) \\ \frac{\partial u_{si}}{\partial t} + u_{si} \frac{\partial u_{si}}{\partial x} + \frac{1}{\rho_{si}^0} \frac{\partial p}{\partial x} + \frac{p}{\alpha_{si} \rho_{si}^0} \frac{\partial \alpha_{si}}{\partial x} &= \frac{\eta}{\alpha_{si} \rho_{si}^0} (u_g - u_{si}), \\ \frac{\partial T_{si}}{\partial t} + u_{si} \frac{\partial T_{si}}{\partial x} + \frac{p}{c_{vi} \rho_{si}^0} \frac{\partial u_{si}}{\partial x} &= \frac{Q_i}{\alpha_{si} \rho_{si}^0 c_{vi}}, \quad i = 1, \dots, n. \end{aligned}$$

Характеристическое уравнение системы (14) имеет только действительные корни: $u \pm c$, u , $u_{si} \pm c_{si}$, u_{si} , где $c_{si} = \sqrt{p/\rho_{si}^0}$.

Для смеси газа с двумя дисперсными фракциями правые собственные векторы, соответствующие собственным значениям $\lambda_1 = u - c$, $\lambda_2 = u$, $\lambda_3 = u + c$, $\lambda_4 = u_1 - c_1$, $\lambda_5 = u_1$, $\lambda_6 = u_1 + c_1$, $\lambda_7 = u_2 - c_2$, $\lambda_8 = u_2$, $\lambda_9 = u_2 + c_2$, имеют вид

$$\mathbf{R}_1 = \left(\frac{c_{v1}\rho_{s1}^0 A}{c^2 c_1^2}, -\frac{c_{v1}\rho_{s1}^0 A}{\rho c c_1^2}, \frac{c_{v1}\rho_{s1}^0 A}{c_1^2}, \frac{\alpha_1 c_{v1}}{c_1^2}, \frac{c_{v1}(u-c-u_1)}{c_1^2}, \right. \\ \left. 1, \frac{\alpha_2 c_{v1}\rho_{s1}^0 A}{\rho_{s2}^0 c_1^2 B}, \frac{c_{v1}\rho_{s1}^0 (u-c-u_2) A}{\rho_{s2}^0 c_1^2 B}, \frac{c_{v1}\rho_{s1}^0 c_2^2 A}{c_{v2}\rho_{s2}^0 c_1^2 B} \right)',$$

$$\mathbf{R}_2 = (1, 0, 0, 0, 0, 0, 0, 0, 0)',$$

$$\mathbf{R}_3 = \left(\frac{c_{v2}\rho_{s2}^0 B}{c^2 c_2^2}, \frac{c_{v2}\rho_{s2}^0 B}{\rho c c_2^2}, \frac{c_{v2}\rho_{s2}^0 B}{c_2^2}, \frac{\alpha_1 c_{v2}\rho_{s2}^0 B}{\rho_{s1}^0 c_2^2 A}, \frac{c_{v2}\rho_{s2}^0 (u+c-u_1) B}{\rho_{s1}^0 c_2^2 A}, \right. \\ \left. \frac{c_{v2}\rho_{s2}^0 c_1^2 B}{c_{v1}\rho_{s1}^0 c_2^2 A}, \frac{\alpha_2 c_{v2}}{c_2^2}, \frac{c_{v2}(u+c-u_1)}{c_2^2}, 1 \right)',$$

$$\mathbf{R}_4 = \left(0, 0, 0, \frac{\alpha_1 c_{v1}}{c_1^2}, -\frac{c_{v1}}{c_1}, 1, 0, 0, 0 \right)', \quad \mathbf{R}_5 = (0, 0, 0, 0, 0, 1, 0, 0, 0)',$$

$$\mathbf{R}_6 = \left(0, 0, 0, \frac{\alpha_1 c_{v1}}{c_1^2}, \frac{c_{v1}}{c_1}, 1, 0, 0, 0 \right)',$$

$$\mathbf{R}_7 = \left(0, 0, 0, 0, 0, 0, \frac{\alpha_2 c_{v2}}{c_2^2}, -\frac{c_{v2}}{c_2}, 1 \right)', \quad \mathbf{R}_8 = (0, 0, 0, 0, 0, 0, 0, 0, 1)',$$

$$\mathbf{R}_9 = \left(0, 0, 0, 0, 0, 0, \frac{\alpha_2 c_{v2}}{c_2^2}, \frac{c_{v2}}{c_2}, 1 \right)',$$

где $A = (u - c - u_1 - c_1)(u - c - u_1 + c_1)$, $B = (u - c - u_2 - c_2)(u - c - u_2 + c_2)$.

Методика численного счета

При интегрировании систем (1) и (9) использовался метод Годунова [11], расчетные формулы которого для одно- и многоскоростного вариантов моделей с одной пространственной переменной приведены соответственно в работах [12] и [13]. В настоящем случае рассмотрим методику расчета на неподвижной двумерной криволинейной сетке (см. рис. 2).

Для односкоростной модели смеси система уравнений в декартовой координатной системе может быть переписана следующим образом:

$$\partial \mathbf{V} / \partial t + \partial \mathbf{F} / \partial x + \partial \mathbf{G} / \partial y = \mathbf{S}, \quad (15)$$

где

$$\mathbf{V} = (\rho, \rho u, \rho v, \rho e, \alpha_s, \alpha_s u, \alpha_s v, \alpha_s e_s)',$$

$$\mathbf{F} = \left[\rho u, p + \rho u^2, \rho uv, \rho u(e + p/\rho), \alpha_s u, \alpha_s (u^2 + p/\rho_s^0), \alpha_s uv, \alpha_s u(e_s + p/\rho_s^0) \right]',$$

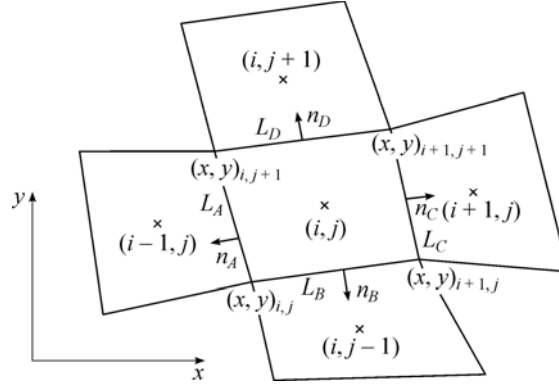


Рис. 2. Фрагмент криволинейной сетки.

$$\mathbf{G} = \left[\rho v, \rho uv, p + \rho v^2, \rho v(e + p/\rho), \alpha_s v, \alpha_s uv, \alpha_s (v^2 + p/\rho_s^0), \alpha_s v(e_s + p/\rho_s^0) \right]',$$

$$\mathbf{S} = 1/\rho_s^0 \left(0, 0, 0, 0, f_x, f_y, Q + f_x u + f_y v \right)',$$

где $e_s = c_v T_s + (1/2)(u^2 + v^2)$.

В случае использования модели со скоростной неравновесностью соответствующие векторы \mathbf{V} , \mathbf{F} , \mathbf{G} и \mathbf{S} в уравнении (15) имеют вид

$$\mathbf{V} = (\rho, \rho u, \rho v, \alpha_s, \alpha_s u_s, \alpha_s v_s, \alpha_s e_s)',$$

$$\mathbf{F} = \left[\rho u, p + \rho u^2, \rho uv, \alpha_s u_s, \alpha_s (u_s^2 + p/\rho_s^0), \alpha_s u_s v_s, \alpha_s u_s (e_s + p/\rho_s^0) \right]',$$

$$\mathbf{G} = \left[\rho v, \rho uv, p + \rho v^2, \alpha_s v_s, \alpha_s u_s v_s, \alpha_s (v_s^2 + p/\rho_s^0), \alpha_s v_s (e_s + p/\rho_s^0) \right]',$$

$$\mathbf{S} = \frac{1}{\rho_s^0} \left[0, 0, 0, 0, \eta(u_g - u_s), \eta(v_g - v_s), Q + \eta(u_g - u_s)u_s + \eta(v_g - v_s)v_s \right]',$$

где $e_s = c_v T_s + \frac{1}{2}(u_s^2 + v_s^2)$. В многоскоростной модели наряду с (15) используется уравнение недивергентного вида

$$\frac{\partial p}{\partial t} + u \frac{\partial p}{\partial x} + v \frac{\partial p}{\partial y} - c^2 \left(\frac{\partial \rho}{\partial t} + u \frac{\partial \rho}{\partial x} + v \frac{\partial \rho}{\partial y} \right) = 0. \quad (16)$$

Применяя к имеющим дивергентную форму уравнениям (15) методику перехода от дифференциальных соотношений к конечноразностным (см. [11]), получим следующие выражения для (i, j) ячейки, связывающие искомые параметры на новом временном слое $t + \Delta t$ (с индексами сверху) с соответствующими значениями на предыдущем слое t (с индексами внизу):

$$\mathbf{V}^{ij} = \mathbf{V}_{ij} - \left[\Phi_{i-1/2j} + \Phi_{i+1/2j} + \Phi_{ij-1/2} + \Phi_{ij+1/2} \right] \frac{\Delta t}{S} + \mathbf{S}_{ij} \Delta t, \quad (17)$$

где для односкоростной модели

$$\Phi = \left[LRN, L(\sigma P + RNU), L(\tau P + RNV), A_s LN_s, A_s L \left(N_s U_s + \frac{\sigma P}{\rho_s^0} \right), \right. \\ \left. A_s L \left(N_s V_s + \frac{\tau P}{\rho_s^0} \right), A_s LN_s \left(E_s + \frac{P}{\rho_s^0} \right) \right],$$

и для многоскоростной

$$\Phi = \left[LRN, L(\sigma P + RNU), L(\tau P + RNV), A_s LN_s, A_s L \left(N_s U_s + \frac{\sigma P}{\rho_s^0} \right), A_s L \left(N_s V_s + \frac{\tau P}{\rho_s^0} \right), \right. \\ \left. A_s LN_s \left(E_s + \frac{P}{\rho_s^0} \right) \right].$$

В приведенных соотношениях $L_{i-1/2j} = \sqrt{(x_{ij} - x_{i+1j})^2 + (y_{ij} - y_{i+1j})^2}$,
 $L_{ij-1/2} = \sqrt{(x_{ij} - x_{i+1j})^2 + (y_{ij} - y_{i+1j})^2}$, ... — длины граней ячейки, $\sigma_{i-1/2j} = (y_{ij} - y_{i+1j})/L_{i-1/2j}$,
 $\tau_{i-1/2j} = -(x_{ij} - x_{i+1j})/L_{i-1/2j}$, $\sigma_{ij-1/2} = (y_{i+1j} - y_{ij})/L_{ij-1/2}$, $\tau_{ij-1/2} = -(x_{i+1j} - x_{ij})/L_{ij-1/2}$, ... —
 компоненты единичных векторов \mathbf{n} к соответствующим граням ячейки,
 $S_{ij} = \frac{1}{2} [(x_{i+1j+1} - x_{ij})(y_{ij+1} - y_{i+1j}) - (x_{ij+1} - x_{ij})(y_{i+1j+1} - y_{ij})]$ — площадь ячейки, $(N_s)_{i-1/2j}$,
 $(N_s)_{ij-1/2}$, $(N_s)_{i-1/2j}$, ... — нормальные составляющие скоростей на сторонах
 ячейки, $(K_s)_{i-1/2j}$, $(K_s)_{ij-1/2}$, $(K_s)_{i-1/2j}$, ... — касательные составляющие ско-
 ростей, $U_{i-1/2j} = (\sigma N + \tau K)_{i-1/2j}$, $(U_s)_{i-1/2j} = (\sigma N_s + \tau K_s)_{i-1/2j}$, $V_{i-1/2j} = (\tau N - \sigma K)_{i-1/2j}$,
 $(V_s)_{i-1/2j} = (\tau N_s - \sigma K_s)_{i-1/2j}$, ... — проекции скоростей на координатные оси x и y на сто-
 ронах ячейки (рис. 2).

Используемые в выражении (17) обозначения соответствуют принятым в работе [11]. Узлы конечно-разностной сетки имеют целые индексы, а середины сторон ячейки — полуцелые. «Большие» величины, входящие в выражения (17) (P — давление; U, V, U_s, V_s — скорости, R — плотность смеси, A_s — объемная доля, E_s — удельная полная энергия) и относящиеся к граням смежных ячеек, определяются из решения соответствующих задач Римана, один из алгоритмов которого будут приведен ниже.

В случае многоскоростной модели смеси для вычисления оставшейся неизвестной переменной p на новом временном слое запишем уравнение (16) в конечно-разностном виде как

$$\frac{p^{ij} - p_{ij}}{\Delta t} + u_{ij} \frac{P_{i+1/2j} - P_{i-1/2j}}{\Delta x} + v_{ij} \frac{P_{ij+1/2} - P_{ij-1/2}}{\Delta y} - \\ - c_{ij}^2 \left(\frac{p^{ij} - p_{ij}}{\Delta t} + u_{ij} \frac{R_{i+1/2j} - R_{i-1/2j}}{\Delta x} + v_{ij} \frac{R_{ij+1/2} - R_{ij-1/2}}{\Delta y} \right) = 0. \quad (18)$$

Нахождением давления p^{ij} из полученного выражения завершается вычислительный цикл.

Другой способ определения давления с использованием противопоточной схемы записывается в виде выражения

$$\frac{p^{ij} - p_{ij}}{\Delta t} + u_{ij}^- \frac{p_{i+1j} - p_{ij}}{\Delta x} + u_{ij}^+ \frac{p_{ij} - p_{i-1j}}{\Delta x} + v_{ij}^- \frac{p_{ij+1} - p_{ij}}{\Delta y} + v_{ij}^+ \frac{p_{ij} - p_{ij-1}}{\Delta y} - c_{ij}^2 \left(\frac{\rho^{ij} - \rho_{ij}}{\Delta t} + u_{ij}^- \frac{\rho_{i+1j} - \rho_{ij}}{\Delta x} + u_{ij}^+ \frac{\rho_{ij} - \rho_{i-1j}}{\Delta x} + v_{ij}^- \frac{\rho_{ij+1} - \rho_{ij}}{\Delta y} + v_{ij}^+ \frac{\rho_{ij} - \rho_{ij-1}}{\Delta y} \right) = 0, \quad (19)$$

где

$$u_{ij}^\pm = \frac{1}{2} (u_{ij} \pm |u_{ij}|), \quad v_{ij}^\pm = \frac{1}{2} (v_{ij} \pm |v_{ij}|).$$

Ранее подобный подход показал свою эффективность в одномерных расчетах [12]. Отметим, что вычисленные значения давления из соотношений (18) и (19) совпадают.

Алгоритм приближенного решения задачи Римана

Для вычисления потоков массы, импульса и энергии, перетекающих через грани смежных ячеек, решаются одномерные задачи распада произвольного разрыва, параметры которых соответствуют значениям в этих смежных ячейках.

Точные решатели задачи Римана для одно- и многоскоростного вариантов модели смеси в адиабатическом приближении, требующие значительных временных затрат, описывались в работах [13] и [14]. Рассмотрим теперь линейризованный римановский решатель для расчета задачи распада произвольного разрыва в одномерном случае.

Формула для решателя, по которой вычисляются параметры смеси на контактной границе ($\mathbf{U}_{(L+R)/2}$) по известным значениям слева (\mathbf{U}_L) от контактной границы и справа (\mathbf{U}_R) от нее, имеет вид

$$\mathbf{U}_{(L+R)/2} = \frac{1}{2} (\mathbf{U}_L + \mathbf{U}_R) - \frac{1}{2} \sum_k a_k \text{sign}(\lambda_k) \mathbf{X}_k, \quad (20)$$

где для односкоростной модели

$$\mathbf{U}_{(L+R)/2} = (R, U, P, A_s, T_s)'_{(L+R)/2}, \quad \mathbf{U}_L = (\rho, u, p, \alpha_s, T_s)'_L, \quad \mathbf{U}_R = (\rho, u, p, \alpha_s, T_s)'_R$$

и для многоскоростной

$$\mathbf{U}_{(L+R)/2} = (R, U, P, A_s, U_s, T_s)'_{(L+R)/2}, \quad \mathbf{U}_L = (\rho, u, p, \alpha_s, u_s, T_s)'_L, \quad \mathbf{U}_R = (\rho, u, p, \alpha_s, u_s, T_s)'_R.$$

Правые собственные векторы \mathbf{X}_k для одно- и многоскоростной моделей определяются в соответствии с данными, полученными из (8) и (11). Значения констант a_k в выражении (20) находятся из системы линейных уравнений $\sum_i a_i \mathbf{X}_i = \Delta \mathbf{U}$, где

$$\Delta \mathbf{U} = \mathbf{U}_R - \mathbf{U}_L.$$

Для бинарной смеси в односкоростном приближении имеем

$$a_1 = (1/2)(\Delta p - \rho c \Delta u), \quad a_2 = \Delta \rho - \Delta p / c^2, \quad a_3 = \Delta \alpha_s - \alpha_s \Delta p / (\rho c^2), \\ a_4 = \Delta T_s - p \Delta p / (\rho c^2 c_v \rho_s^0), \quad a_5 = (1/2)(\Delta p + \rho c \Delta u)$$

и для двухскоростной модели

$$a_1 = \frac{c_s^2 (\Delta p - \rho c \Delta u)}{2 c_v \rho_s^0 [(u - c - u_s)^2 - c_s^2]}, \quad a_2 = \Delta \rho - \frac{\Delta p}{c^2}, \quad a_3 = \frac{c_s^2 (\Delta p + \rho c \Delta u)}{2 c_v \rho_s^0 [(u + c - u_s)^2 - c_s^2]},$$

$$a_4 = \frac{c_s^2}{2c_v} \left\{ \frac{\Delta\alpha_s}{\alpha_s} - \frac{\Delta u_s}{c_s} + \frac{(u-u_s+c_s)\Delta p - \rho c^2 \Delta u}{c_s \rho_s^0 [(u-u_s+c_s)^2 - c^2]} \right\},$$

$$a_6 = \frac{c_s^2}{2c_v} \left\{ \frac{\Delta\alpha_s}{\alpha_s} + \frac{\Delta u_s}{c_s} - \frac{(u-u_s-c_s)\Delta p - \rho c^2 \Delta u}{c_s \rho_s^0 [(u-u_s-c_s)^2 - c^2]} \right\},$$

$$a_5 = \Delta T_s - a_1 - a_3 - a_4 - a_6.$$

«Большие» величины на общей грани между ячейками (i, j) и $(i+1, j)$ рассчитывались для односкоростной модели из соотношений

$$(R, U, P, A_s, T_s)_{i+1/2j} = \begin{cases} (\rho, u, p, \alpha_s, T_s)_{ij}, & \text{если } (u-c)_{i+1/2j} > 0 \\ (\rho, u, p, \alpha_s, T_s)_{i+1j}, & \text{если } (u+c)_{i+1/2j} < 0 \\ (\rho, u, p, \alpha_s, T_s)_{i+1/2j}, & \text{если } (u-c)_{i+1/2j} \leq 0, (u+c)_{i+1/2j} \geq 0 \end{cases}$$

и для многоскоростной модели

$$(R, U, P, A_s, U_s, T_s)_{i+1/2j} = \begin{cases} (\rho, u, p, \alpha_s, u_s, T_s)_{ij}, & \text{если } (u-c)_{i+1/2j} > 0 \\ (\rho, u, p, \alpha_s, u_s, T_s)_{i+1j}, & \text{если } (u+c)_{i+1/2j} < 0 \\ (\rho, u, p, \alpha_s, u_s, T_s)_{i+1/2j}, & \text{если } (u-c)_{i+1/2j} \leq 0, (u+c)_{i+1/2j} \geq 0. \end{cases}$$

На остальных гранях рассматриваемой ячейки потоковые переменные определяются по аналогичным формулам.

Результаты численного моделирования

В качестве примера рассмотрим установившееся течение бинарной смеси идеального газа с показателем адиабаты γ и второй несжимаемой составляющей с плотностью ρ_s^0 около внешнего тупого угла (задача Прандтля–Майера, рис. 3), которое в односкоростном приближении описывается уравнениями

$$\rho \left(\frac{\partial u}{\partial x} + \frac{\partial v}{\partial y} \right) + u \frac{\partial \rho}{\partial x} + v \frac{\partial \rho}{\partial y} = 0, \quad u \frac{\partial u}{\partial x} + v \frac{\partial u}{\partial y} + \frac{1}{\rho} \frac{\partial p}{\partial x} = 0, \quad u \frac{\partial v}{\partial x} + v \frac{\partial v}{\partial y} + \frac{1}{\rho} \frac{\partial p}{\partial y} = 0,$$

$$u \frac{\partial p}{\partial x} + v \frac{\partial p}{\partial y} + \rho c^2 \left(\frac{\partial u}{\partial x} + \frac{\partial v}{\partial y} \right) = -\frac{\gamma-1}{1-\alpha_s} Q, \quad (21)$$

$$u \frac{\partial \alpha_s}{\partial x} + v \frac{\partial \alpha_s}{\partial y} + \alpha_s \left(\frac{\partial u}{\partial x} + \frac{\partial v}{\partial y} \right) = 0, \quad u \frac{\partial T_s}{\partial x} + v \frac{\partial T_s}{\partial y} + \frac{p}{c_v \rho_s^0} \left(\frac{\partial u}{\partial x} + \frac{\partial v}{\partial y} \right) = \frac{Q}{\alpha_s c_v \rho_s^0}.$$

Интенсивность межкомпонентного теплообмена на единицу объема смеси Q рассчитывалась из соотношения [15]

$$Q = \frac{12\alpha_s \mu_g C_{pg} (T_s - T_g)}{d^2 \text{Pr}}, \quad (22)$$

где $\text{Pr} = c_p \mu_g / \lambda_g$, d — диаметр частиц. При $Q = 0$ задача является автомодельной. При введении переменной $\xi = y/x$ [16] система уравнений в частных

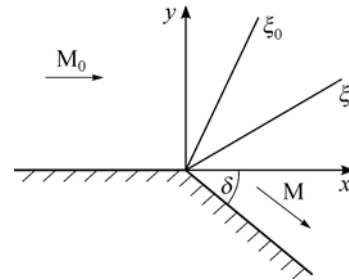


Рис. 3. Течение Прандтля–Майера.

производных (21) приводится к системе обыкновенных дифференциальных уравнений:

$$\begin{aligned} \frac{d\rho}{d\xi} &= -\frac{\rho[u(v-u\xi)+c^2\xi]}{(v-u\xi)^2+(c^2(1+\xi^2)/2)(\alpha_s/(1-\alpha_s)+\rho c^2/p-1)} \equiv \Omega, \\ \frac{dp}{d\xi} &= c^2\Omega, \quad \frac{du}{d\xi} = \frac{(v-u\xi)\xi}{\rho(1+\xi^2)}\Omega, \quad \frac{dv}{d\xi} = -\frac{(v-u\xi)}{\rho(1+\xi^2)}\Omega, \\ \frac{d\alpha_s}{d\xi} &= \frac{\alpha_s}{\rho}\Omega, \quad \frac{dT_s}{d\xi} = \frac{p}{\rho c_v \rho_s^0}\Omega. \end{aligned} \quad (23)$$

При наличии скоростной неравновесности установившееся течение газопылевой смеси около внешнего тупого угла описывается системой

$$\begin{aligned} \rho\left(\frac{\partial u}{\partial x} + \frac{\partial v}{\partial y}\right) + u\frac{\partial \rho}{\partial x} + v\frac{\partial \rho}{\partial y} &= 0, \quad u\frac{\partial u}{\partial x} + v\frac{\partial u}{\partial y} + \frac{1}{\rho}\frac{\partial p}{\partial x} = 0, \quad u\frac{\partial v}{\partial x} + v\frac{\partial v}{\partial y} + \frac{1}{\rho}\frac{\partial p}{\partial y} = 0, \\ u\frac{\partial p}{\partial x} + v\frac{\partial p}{\partial y} + \rho c^2\left(\frac{\partial u}{\partial x} + \frac{\partial v}{\partial y}\right) &= 0, \quad u_s\frac{\partial \alpha_s}{\partial x} + v_s\frac{\partial \alpha_s}{\partial y} + \alpha_s\left(\frac{\partial u_s}{\partial x} + \frac{\partial v_s}{\partial y}\right) = 0, \\ u_s\frac{\partial u_s}{\partial x} + v_s\frac{\partial u_s}{\partial y} + \frac{1}{\rho_s^0}\frac{\partial p}{\partial x} + \frac{p}{\alpha_s\rho_s^0}\frac{\partial \alpha_s}{\partial x} &= \frac{\eta}{\alpha_s\rho_s^0}(u_g - u_s), \\ u_s\frac{\partial v_s}{\partial x} + v_s\frac{\partial v_s}{\partial y} + \frac{1}{\rho_s^0}\frac{\partial p}{\partial y} + \frac{p}{\alpha_s\rho_s^0}\frac{\partial \alpha_s}{\partial y} &= \frac{\eta}{\alpha_s\rho_s^0}(v_g - v_s), \\ u_s\frac{\partial T_s}{\partial x} + v_s\frac{\partial T_s}{\partial y} + \frac{p}{c_v\rho_s^0}\left(\frac{\partial u_s}{\partial x} + \frac{\partial v_s}{\partial y}\right) &= \frac{Q}{\alpha_s c_v \rho_s^0}. \end{aligned} \quad (24)$$

Коэффициент сопротивления η рассчитывался из выражения (см. [15])

$$\eta = 3\alpha_g\rho_g^0/(4d)|\mathbf{u}_g - \mathbf{u}_s|C_D, \quad (25)$$

где

$$C_D = \begin{cases} \frac{24(1+0,1\text{Re}^{0,75})}{\text{Re}}, & \text{при } \text{Re} < 1000, \\ 0,45, & \text{при } \text{Re} \geq 1000, \end{cases}$$

здесь

$$\text{Re} = \alpha_g^{2,5}\rho_g^0 d/\mu_g|\mathbf{u}_g - \mathbf{u}_s|.$$

Вязкость воздуха определялась по формуле Сазерленда

$$\mu_g = \mu_0 \frac{T_{g0} + C}{T_g + C} \left(\frac{T_g}{T_{g0}}\right)^{3/2},$$

где $C = 120^0$ К, $\mu_0 = 18,27$ мкПа с, $T_{g0} = 291^0$ К. Температура газа вычислялась из термического уравнения состояния воздуха $p = \rho_g^0 R_g T_g$ (R_g — газовая постоянная).

Интенсивность межкомпонентного теплообмена на единицу объема смеси Q рассчитывалась из соотношения (см. [15])

$$Q = 6\alpha_s\mu_g C_{pg} \text{Nu}(T_s - T_g)/(d^2 \text{Pr}), \quad (26)$$

где $\text{Nu} = 2 + 0,6\text{Re}^{1/2} \text{Pr}^{1/3}$.

Система уравнений в частных производных (24) при $Q = 0$ и $\eta = 0$ приводится к системе обыкновенных дифференциальных уравнений, методика их вывода аналогична приведенной в работе [17]

$$\frac{dp}{d\xi} = - \frac{\rho(v - \xi u) \left(u + \frac{\xi c^2}{v - \xi u} \right)}{(1 + \xi^2) \left\{ 1 + \frac{1}{2} \left[\frac{\alpha_s \rho c^2 (1 + \xi^2)}{(1 - \alpha_s) [\rho_s^0 (v_s - \xi u_s)^2 - p(1 + \xi^2)]} + \frac{\rho c^2}{p} - 1 \right] \right\}} \equiv \Omega,$$

$$\frac{du}{d\xi} = \frac{\xi \Omega}{\rho(v - \xi u)}, \quad \frac{dv}{d\xi} = - \frac{\Omega}{\rho(v - \xi u)}, \quad \frac{d\rho}{d\xi} = \frac{(1 + \xi^2) \Omega}{(v - \xi u)^2},$$

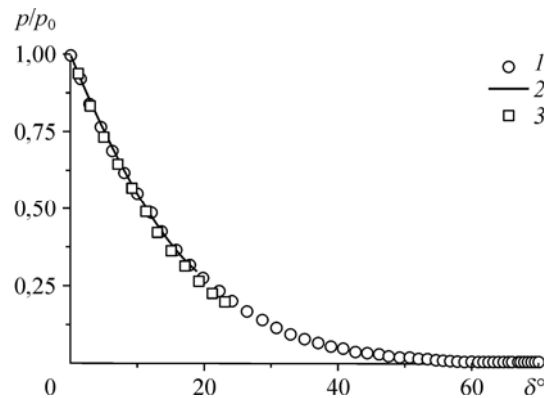
$$\frac{du_s}{d\xi} = \frac{\xi (v_s - \xi u_s) \Omega}{\rho_s^0 (v_s - \xi u_s)^2 - p(1 + \xi^2)}, \quad \frac{dv_s}{d\xi} = - \frac{(v_s - \xi u_s) \Omega}{\rho_s^0 (v_s - \xi u_s)^2 - p(1 + \xi^2)},$$

$$\frac{d\alpha_s}{d\xi} = \frac{\alpha_s (1 + \xi^2) \Omega}{\rho_s^0 (v_s - \xi u_s)^2 - p(1 + \xi^2)}, \quad \frac{dT_s}{d\xi} = \frac{p(1 + \xi^2) \Omega}{c_v \rho_s^0 [\rho_s^0 (v_s - \xi u_s)^2 - p(1 + \xi^2)]}.$$

Системы (23) и (27) интегрировались от $\xi_0 = 1/\sqrt{M_0^2 - 1}$ до ξ_1 , где поток направлен под углом $\delta = \text{arctg}(|v|/u)$ к оси x (рис. 3). Здесь $M_0 = u_0/c_0$ — число Маха в невозмущенном потоке. На рис. 4 приведены результаты вычислений зависимостей $p/p_0(\delta)$ при следующих исходных данных для систем (23) и (27): $M_0 = u_0/c_0 = 2$, $p_0 = 0,1$ МПа, $\alpha_{g0} = 0,99$ ($\gamma_g = 1,4$, $c_{g*} = 0$, $\rho_{g*}^0 = 1,19$ кг/м³, $\rho_s^0 = 1000$ кг/м³). Как видно из рисунка, решения системы (27), в отличие от соответствующих решений (23), ограничены некоторым предельным значением δ_* , что связано с особенностью системы (27), которая выражается в обращении в нуль знаменателя в уравнениях для несжимаемой фракции. На рис. 4 отмечены также относительные давления (3), полученные при интегрировании системы (21) описанным выше методом Годунова по достижении режима установившегося течения. При этом начальные данные во всей расчетной области задавались следующим образом: $p = p_0$, $u = c_0 M_0$, $v = 0$, $\alpha_g = \alpha_{g0}$. Типичные распределения давления при $M_0 = 1,8$, $p_0 = 0,1$ МПа, $\alpha_{g0} = 0,99$, $\delta = -5^\circ$, $Q = 0$ для водно-воздушной смеси приведены на рис. 5.

В случае, когда $Q \neq 0$, задача становится неавтономной и ее решение возможно получить лишь численным интегрированием системы (21). Отметим, что полученные в результате расчета распределения давления и плотности в области течения смеси близки к данным для автономного варианта, различие наблюдаются в значениях температуры и объемной доли дисперсной фракции.

Рис. 4. Зависимости $p/p_0(\delta)$ для течения Прандтля–Майера при $\alpha_{g0} = 0,99$.
1, 2 — данные по одно- и многоскоростной моделям смеси соответственно, 3 — результаты численного интегрирования системы (21).



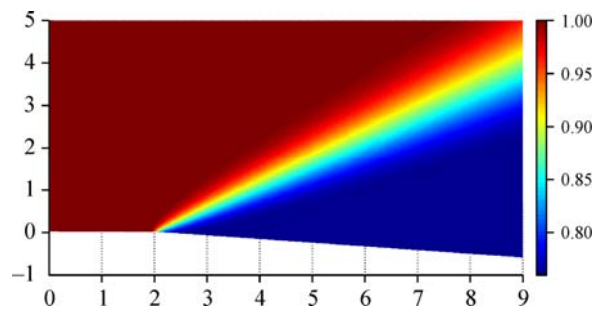


Рис. 5. Распределение давления для течения Прандтля–Майера при $Q = 0$.

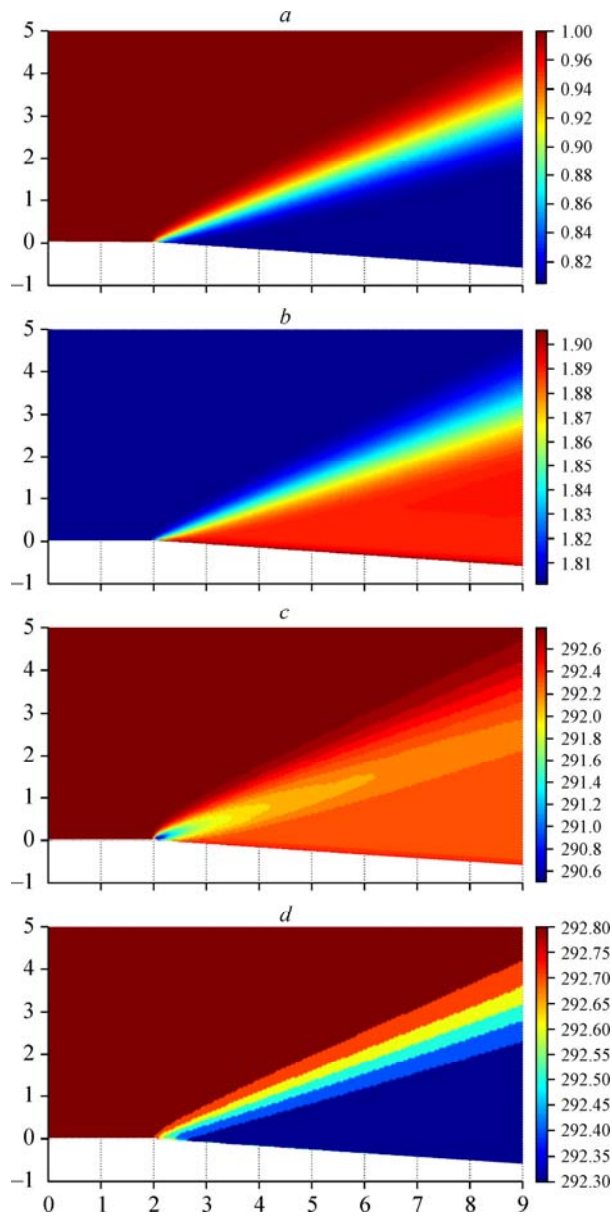


Рис. 6. Распределение относительного давления p/p_0 (a), чисел Маха (b), температуры газа (c) и температуры дисперсной фракции (d) при учете межфракционного теплообмена для течения Прандтля–Майера.

На рис. 6 представлены распределения относительного давления (*a*), чисел Маха (*b*), температуры газа (*c*) и температуры дисперсной фракции (*d*) при учете межфракционного теплообмена (*e*) для задачи Прандтля–Майера при $M_0 = 1,8$, $p_0 = 0,1$ МПа, $\alpha_{g0} = 0,99$, $\rho_{g0}^0 = 1,19$ кг/м³, $\delta = -5^\circ$ при течении воздушно-водной смеси, полученные в расчете на сетке из 200×100 ячеек для односкоростной модели. Число Прандтля полагалось равным $0,71$, $C_{pg} = 1007$ Дж/(с²·К), диаметр частиц $d = 10$ мкм, плотность дисперсной фракции $\rho_g^0 = 1000$ кг/м³, $c_v = 4,2 \cdot 10^3$ м²/(с²·К).

В качестве следующей задачи рассматривается взаимодействие плоской воздушной ударной волны (УВ), которая распространяется по невозмущенному воздуху ($\gamma = 1,4$, $\rho_0 = 1,29$ кг/м³, $p_0 = 0,1$ МПа), с неподвижным газопылевым слоем ($u = v = 0$, $p = p_0$), начальное расположение которого приведено на рис. 7*a*. Давление, скорость и плотность воздуха за фронтом УВ рассчитывались из соотношений

$$p_{sh} = \frac{p_0}{\gamma + 1} \left[(2M^2 - 1)\gamma + 1 \right], \quad u_{sh} = \frac{2c_0}{\gamma + 1} \left(M - \frac{1}{M} \right), \quad \rho_{sh} = \frac{\rho_0(\gamma + 1)}{\gamma - 1 + 2/M^2},$$

где c_0 и $M = D/c_0$ соответственно скорость звука в невозмущенном газе и число Маха, D — скорость перемещения фронта УВ.

С целью визуализации газопылевого слоя использовался метод маркеров [18], для этого в область, занятую дисперсной средой, помещались невесомые маркеры, которые перемещались с локальной скоростью смеси и в процессе вычислений не учитывались, а использовались лишь для целей визуализации деформации газопылевого слоя.

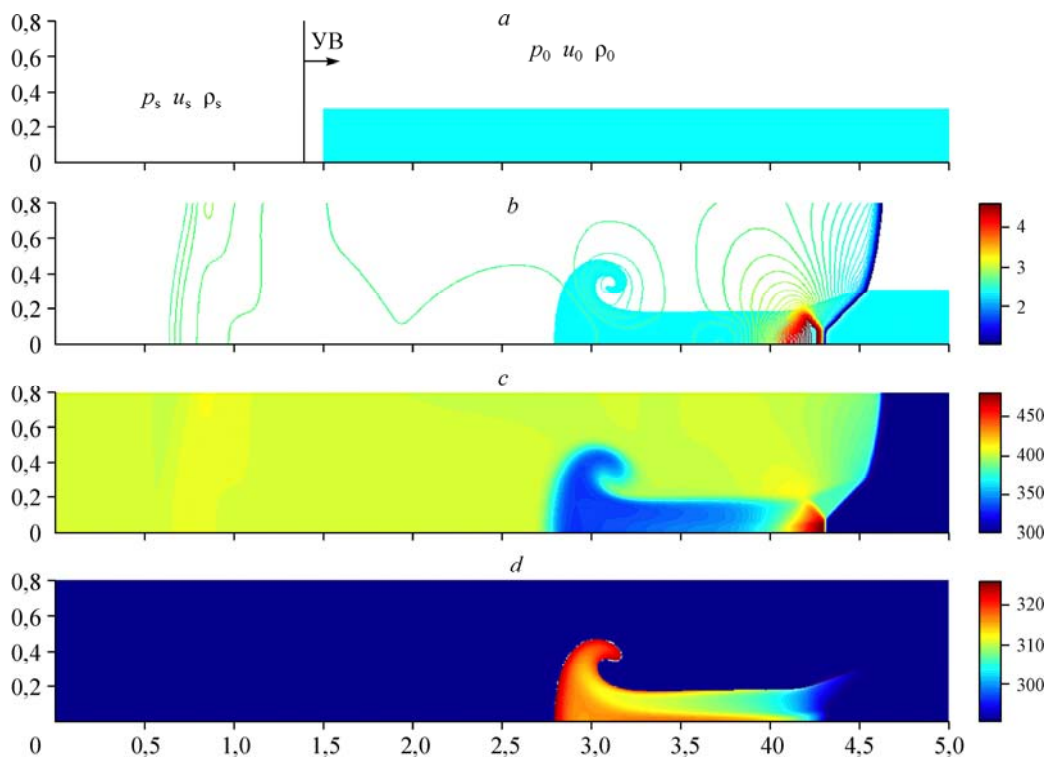


Рис. 7. Положение газопылевого слоя при $t = 0$ (*a*); распределение давления p/p_0 (*b*), температуры газа (*c*), температуры дисперсной фракции (*d*) к моменту времени $t = 6$ мс.

На рис. 7b–7d представлены форма деформированного слоя водно-воздушной смеси ($\rho_s = 1000 \text{ кг/м}^3$, $d = 25 \text{ мкм}$, $c_v = 4200 \text{ м}^2/(\text{с}^2 \cdot \text{К})$, $\alpha_s = 10^{-3}$), распределения давления, температуры газа и температуры дисперсной фракции для УВ с числом Маха 1,6, полученные в рамках односкоростной модели к моменту времени $t = 6 \text{ мс}$ описанным выше методом Годунова. Вычисления проводились на сетке из 1000×160 ячеек.

Как видно из рис. 7b, по мере продвижения УВ вдоль слоя наблюдается сжатие слоя пыли. Преломленная в слое УВ отражается от преграды в маховском режиме. Максимальные значения температуры газа наблюдаются вблизи ножки Маха, что ведет к более интенсивному прогреву капель воды вблизи преграды (рис. 7d). Отметим, что если рассматривать запыленный слой с более мелкими каплями воды ($d = 5 \text{ мкм}$), то в этом случае при прочих равных условиях режим отражения меняется с маховского на регулярный. В работе [19] смена режимов отражения преломленной УВ связывалась с изменением толщины газопылевого слоя.

Список литературы

1. Kim S.W., Chang K.S. Reflection of shock waves from a compression corner in a particle-laden gas region // Shock Waves. 1991. Vol. 1, Iss. 1. P. 65–73.
2. Saito T. Numerical analysis of dusty-gas flows // J. Comp. Physics. 2002. Vol. 176, Iss. 1. P. 129–144.
3. Нигматулин Р.И. Динамика многофазных сред. Ч. 1. М.: Наука, 1987. 464 с.
4. Суров В.С. Односкоростная модель гетерогенной среды с гиперболическим адиабатическим ядром // Журн. вычисл. математ. и матем. физики. 2008. Т. 48, № 6. С. 1111–1125.
5. Суров В.С. Гиперболические модели в механике гетерогенных сред // Журн. вычисл. математ. и матем. физики. 2014. Т. 54, № 1. С. 139–149.
6. Уоллис Г. Одномерные двухфазные течения. М.: Мир, 1972. 436 с.
7. Суров В.С. Об одном варианте метода характеристик для расчета течений односкоростной многокомпонентной смеси // Инж.-физ. журнал. 2010. Т. 83, № 2. С. 345–350.
8. Суров В.С. Об одном способе приближенного решения задачи Римана для односкоростной многокомпонентной смеси // Инж.-физ. журнал. 2010. Т. 83, № 2. С. 351–356.
9. Toro E.F. Riemann solvers with evolved initial condition // Int. J. for Numerical Methods in Fluids. 2006. Vol. 52. P. 433–453.
10. Куликовский А.Г., Погорелов Н.В., Семенов А.Ю. Математические вопросы численного решения гиперболических систем уравнений. Изд. 2-е, дополн. и исправл. М.: Физматлит, 2012. 656 с.
11. Годунов С.К., Забродин А.В., Иванов М.Я., Крайко А.Н., Прокопов Г.П. Численное решение многомерных задач газовой динамики. М.: Наука, 1976. 400 с.
12. Суров В.С. Метод Годунова для расчета течений многоскоростной гетерогенной среды // Инж.-физ. журнал. 2014. Т. 87, № 2. С. 367–375.
13. Суров В.С. Задача Римана для односкоростной модели многокомпонентной смеси // Теплофизика высоких температур. 2009. Т. 47, № 2. С. 283–291.
14. Суров В.С. Задача Римана для многоскоростной модели многокомпонентной среды // Инж.-физ. журнал. 2013. Т. 86, № 4. С. 869–876.
15. Ishi M., Hibiki T. Thermo-fluid dynamics of two-phase flow. N.-Y.: Springer, 2006. 462 p.
16. Суров В.С. О некоторых автомодельных задачах течения односкоростной гетерогенной среды // Инж.-физ. журнал. 2007. Т. 80, № 6. С. 164–172.
17. Суров В.С. Течение Прандтля–Майера для многокомпонентной смеси // Инж.-физ. журнал. 2013. Т. 86, № 3. С. 552–556.
18. Суров В.С. Взаимодействие ударных волн с каплями пузырьковой жидкости // Журнал технической физики. 2001. Т. 71, № 6. С. 17–22.
19. Федоров А.В., Харламова Ю.В., Хмель Т.А. Отражение ударной волны в облаке пыли // Физика горения и взрыва. 2007. Т. 43, № 1. С. 121–131.

Статья поступила в редакцию 26 октября 2015 г.